

# Projeto Física Computacional



Instituto Superior Técnico  
Grupo B09

Pedro Pereira 78889  
João Alves 79006

Prof. Fernando Barão



# Simulador dum detetor de Luz de Cherenkov

## Objetivos

- Simular ruído dum detetor real.
- Simular rasto deixado no detetor por partículas.
- Reconstruir evento original a partir da informação do detetor.
- Analisar Eventos (Desenhos, Histogramas).

# Filosofia

Independência entre:

- Simulação e Reconstrução
- Análise

Solução:

- Registo de dados num ficheiro e posterior leitura e interpretação.

# Simulação I

Problema: Criar a matriz de pixels (Detetor)

## Solução:

- Uso de TF2 do ROOT;
- Uso dos seus métodos:
- GetBinXYZ;
- GetBin
- SetBin

## Vantagens:

- Simplifica todos os processos de identificação de pixels e criação da matriz de pixels (detetor).

## Desvantagens:

- É preciso traduzir a informação criada e interpretada pelo computador para algo inteligível por um comum mortal.

Ex: Criação de arrays H(uman)"Array" para mostrar ao utilizador, sendo que internamente só são usados os "Array".

# Simulação IIA

## Sinal Aleatório

### Problema:

- A partícula ao passar num ponto  $(x,y)$ , ativa 5 pontos aleatórios numa matriz de pixels  $3 \times 3$  à volta do pixel que contém  $(x,y)$ .

### Solução:

- Assumir que dos 9 pixels, 5 são selecionados aleatoriamente, que corresponde a escolher uma de  $\binom{9}{5}$  combinações.

## Sinal Ruído

### Problema:

- Percentagem de ruído: 0.5%

### Solução:

- Varrimento de todos os pixels, gerando um aleatório de 0 a 100 em cada passo.
- Aleatório  $\leq 0.5 \rightarrow$  Pixel Atual é Ruidoso.

# Simulação IIB

## Sinal Circular

### Problema:

- Ativar N0 pixels (aleatoriamente) numa circunferência de raio proporcional à velocidade da partícula.
- Restrição: Pixel é ativável se contém mais do que 1.5 mm de troço da circunferência.

### Solução:

- Varrimento de 0 a  $2\pi$  com passo  $\frac{1.5}{10R}$ .
- Em cada iteração gravava-se o número do pixel. Se o identificador se repete 10 vezes ou mais, o pixel é ativável.
- Após copiar esses identificadores para outro array,  $v$ , faz-se N0 iterações, gerando um aleatório,  $a$ , de 0 ao (size-1) do vetor, gravando noutro vetor o valor  $v[a]$ . A partir da primeira iteração faz-se um teste para verificar se o  $v[a]$  selecionado já está no array final, se estiver, escolhe-se outro.

# Simulação III

- A partir dos data members, o método MakeEvent escreve toda a informação dos eventos num ficheiro, da forma que se mostra:

```
void Event::MakeEvent(float* l, float bb, double probnoise, Event A) {  
    //contador do numero do evento  
    static int counter=0;  
    counter+=1;  
    ofstream out;  
    //faz as contas e imprime no ficheiro as variaveis.  
    out.open("data.txt", std::ios_base::app);  
    out << counter << endl;
```

```
    for (size_t i=0 ; i<PID.size() ; ++i) {  
        out << PID[i] << " ";  
    }  
    out << endl;
```

# Reconstrução I

Problema:

Obter  $N_0$ ,  $R$  e  $\beta$ , com um erro aceitável.

Solução:

- Obtém-se  $N_0$  com um determinado erro (observa-se o número de pixels com sinal a uma determinada distância do aglomerado central). Soma-se 0.5 a esse valor e assume-se um erro de  $\pm 0.5$ .
- Desse valor obtém-se  $\beta$  e  $R$ , com um erro dado pela derivada parcial em ordem a  $N_0$  e a  $\beta$ , respetivamente, multiplicado pelo erro dessa variável.
- Seguidamente define-se um retângulo máximo onde possa estar o ponto  $(x,y)$  em que a partícula embateu.



# Reconstrução II

## Problema:

- Determinar o ponto de embate da partícula

## Solução:

- Escolheu-se um píxel da circunferência e determinou-se o seu ponto central (ppx,ppy). Fez-se um varrimento do valor de x para um y fixo do retângulo referido anteriormente, registrando os valores de xR e yR que minimizam a equação da circunferência. Repete para outro valor de y. (Ver imagem).
- O valor reconstruído é o último valor registado. O erro é igual nas duas coordenadas, pois depende do erro do raio e da seleção do ponto central do pixel ativo na circunferência como ponto que pertence à circunferência real.
- No fim, envia para o ficheiro valores das variáveis reconstruídas + erro.

```
int ilim=maxx-minx;
int klim=maxy-miny;

//para um y fixo varre todos os valores de x com um passo de 0.1
//valor de xR e yR que minimizam a equação da circunferencia
while(k<=klim*10) {

    while( i<=ilim*10) {
        tmp=fabs((xx-ppx)*(xx-ppx)+(yy-ppy)*(yy-ppy)-RR*RR);
        if(tmp<result){
            result=tmp;

            xR=xx;
            yR=yy; }
        xx+=0.1;
        ++i;
    }
    i=0;
    xx=minx;
    yy+=0.1;
    ++k;
}
```

# Reconstrução III

## Limitações

- Considerando um detetor  $L \times L$ , tudo isto funciona bem quando a partícula cai dentro do retângulo definido por  $0.15L$  a  $0.9L$  em  $x$  e  $y$ . Quando cai fora, no caso da sua velocidade ser próxima da da luz, o seu Raio pode ser superior aos limites do detetor, e assim o número de pixels ativados na circunferencia não corresponder a  $N_0$ .
- Nesses casos considera-se o ponto de embate da partícula, o ponto central do retângulo máximo.

Maior erro, contudo não há um “gap” nos resultados, caso simulemos partículas a cair em todo o detetor.

# Análise IA

- O método InfoDraw desenha o evento n, indo ao ficheiro buscar as suas informações. Imprime no terminal os valores reconstruídos desse evento, detalhadamente.

```
void Event::InfoDraw(int n) {  
  
    //cleanup  
    Pixmat->Reset();  
    Noisy.clear();  
    HNoisy.clear();  
    PID.clear();  
    HPID.clear();  
    PringID.clear();  
    HPringID.clear();  
    PringL.clear();  
    AziAng.clear();  
  
    //acontecimento 1 -> linha 0  
    //acontecimento 2 -> linha 24  
    //...  
    ifstream in("data.txt");  
    double startline=n+23*(n-1);
```

```
    //leitor do ficheiro; le linha a linha as variaveis.  
    //de 24 em 24 linhas troca de acontecimento.  
    string line;  
    int k=0;  
    double tmp=0;  
    while(getline(in,line)){  
        ++k;  
        if (k==(startline))  
            in >> beta;  
        if (k==(startline+1))  
            in >> R;  
        if (k==(startline+2))  
            in >> x;  
        if (k==(startline+3))  
            in >> y;  
        if (k==(startline+4)) {  
            char buffer [100000];  
            in.get(buffer, 100000, '\n');  
            int charcount=0;  
            for(int m=0; buffer[m]; ++m) {  
                if(buffer[m]==' ') {  
                    ++charcount; }  
            }  
            stringstream s;  
            s << buffer;  
            for(int i=0;i<charcount; ++i){  
                s >> tmp;  
                Noisy.push_back(tmp);  
            }  
        }  
    }  
}
```

# Análise IB

PixelMatrix

```
4368
4369
4370
4210
4289
ring 4612
ring 4375
ring 3810
ring 3965
ring 3808
ring 4612
```

Troços (por ordem)

1.65

5.25

4.95

4.65

5.1

1.65

Angulo Azimutal

1.06156

0.344872

4.90364

3.92291

4.54261

1.06156

\*\*\*RECONSTRUCTION\*\*\*

N0: 6

$v = (0.936278 \pm 0.0173385)c$

Raio:  $27.7555 \pm 1.21655$  mm

Intervalo de x possível [240,250]

Intervalo de y possível [260,270]

Ponto da Circunferencia escolhido: (262.5,287.5)

Posição (x,y): (243.9,266.9)  $\pm$  (3.36023,3.36023)

\*\*\*REAL\*\*\*

$v = 0.937166c$

Raio: 27.8364mm

Posição (x,y): (247.435,265.419)

Tempo a Reconstruir: 0.118 ms

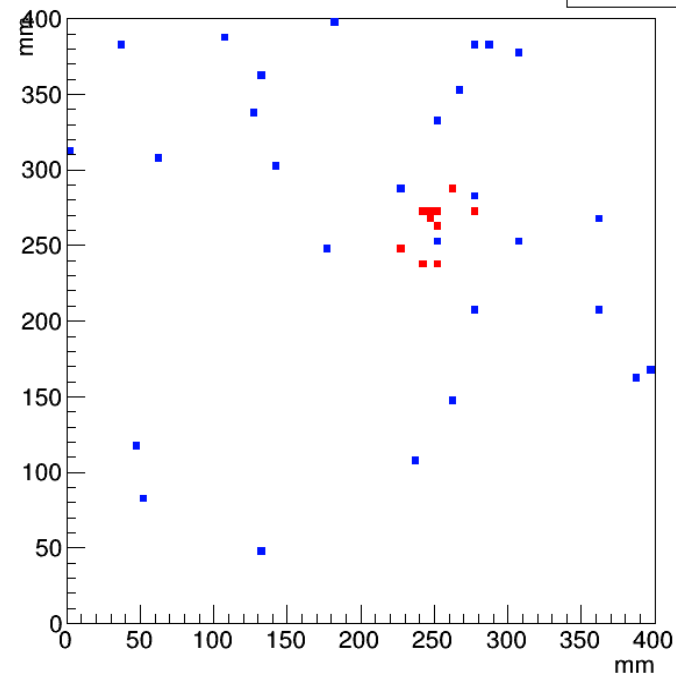
File Edit View Options Tools

Hel

PixelMatrix

1

Entries 39



- Qualquer evento pode ser analisado neste nível de detalhe.

# Análise II

Histogramas são feitos lendo o ficheiro evento a evento.

```
D.CreatePad("Pad2");
ifstream in("data.txt");
string line;
int k=1;
TH1F * p = new TH1F("Diferenca Beta", "Dif Beta", 100, 0, 0.1);
p->GetYaxis()->SetTitle("#");
gStyle->SetOptStat("ne");
gStyle->SetPalette(1);
int n=1;
double startline=1;
double d=0;
while(getline(in, line)){
    if (k==(startline)) {
        in >> beta;
    }
    if (k==(startline+13)) {
        in >> betaR;
    }
    if (((k)%24==0) ){
        d=fabs(beta-betaR);
        ++n;
        startline=n+23*(n-1);
        p->Fill(d);
    }
    ++k;
}

D.AddObject(p, "Pad2");
D.DumpPad("Pad2");
D.DrawPad("Pad2");
D.Print("HistBeta.pdf");
```

# Vantagens do método

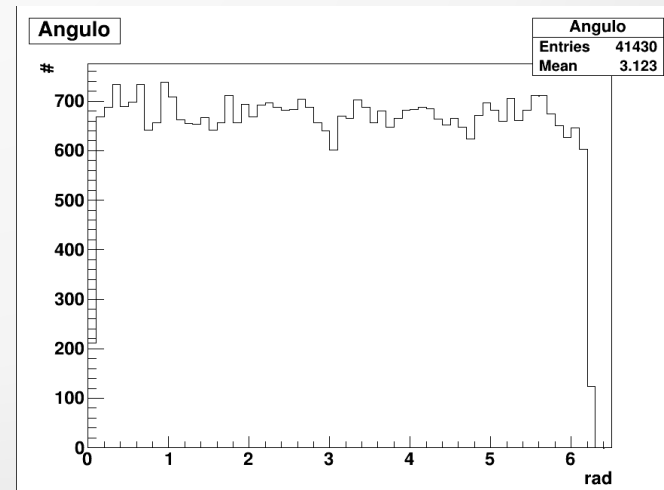
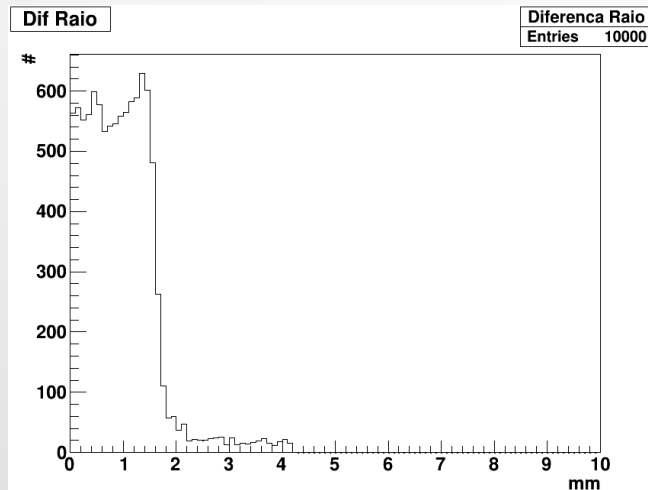
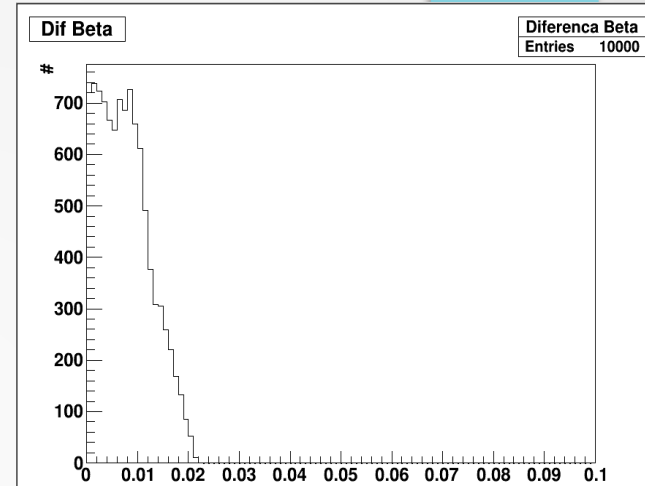
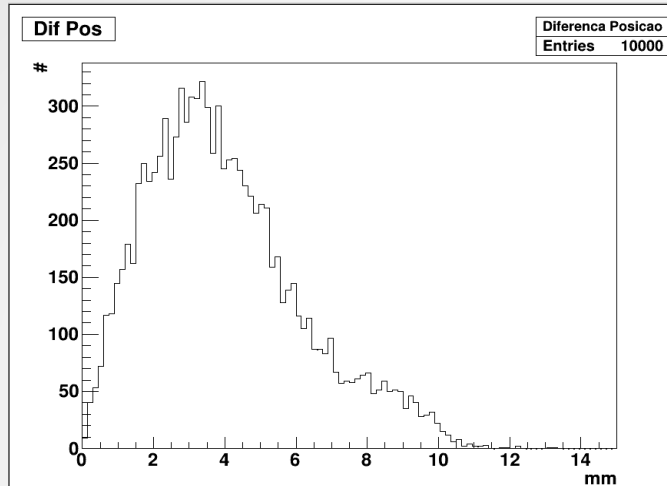
É fácil analisar em detalhe uma parte do total de dados.

Ex: Desenhar todos os eventos com Erro na reconstrução do raio superior a 2 mm.

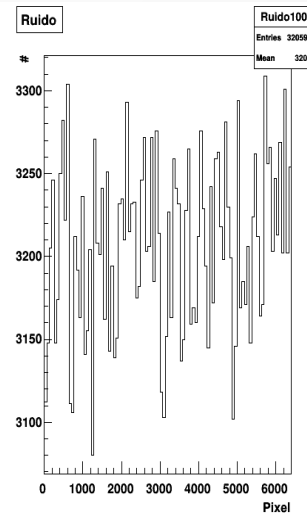
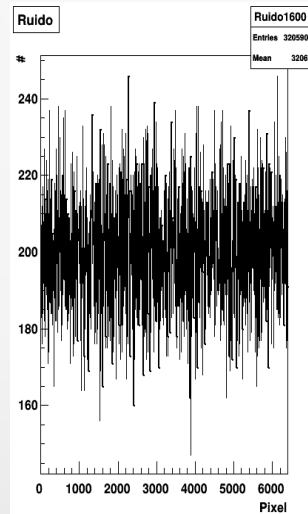
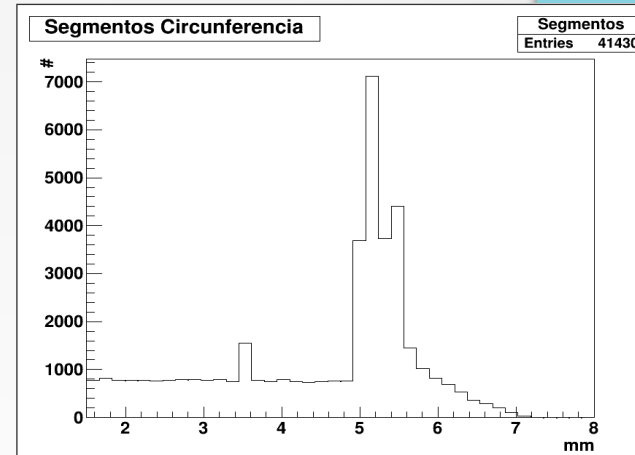
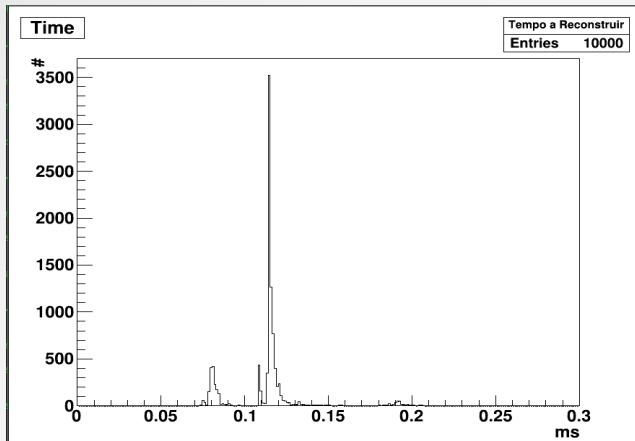
- No método HistR colocar um teste, se passar, guardar n num array de ints.  
No .C , dentro dum ciclo, InfoDraw(v[i]).
- Semelhante para os histogramas...

Pode ser usado para analisar dados reais, basta que estejam num ficheiro com a mesma estrutura do criado pelo simulador.

# Resultados A



# Resultados B





# Updates

Má prática identificada:

- “God Object”

Solução:

```
EventAnalyzer:: EventAnalyzer(int a, int b) : EventGenerator(a,b) { }
```

```
EventAnalyzer A(6400,5);

A.CleanData();
//posicao particula teste
float* p=new float [2];
TRandom3 rand(0);
for (int i=0; i<10000; ++i) {
    EventGenerator E(6400,5);
    p[0]=rand.Uniform(100,300);
    p[1]=rand.Uniform(100,300);
    float beta=rand.Uniform(1/1.3+0.001,1);
    E.MakeEvent(p,beta,0.005,E);
    E.RecEvent();
}
A.InfoDraw(1);
A.Hist();
```

# Trajectoria dum Protão nas Imediações da Terra

## Objetivos:

- Estudar protão sobre a influência do campo magnético terrestre;
- Prever a trajetória do protão;
- Estabelecer classe com a trajetória;
- Descrever as linhas de campo magnético terrestre.

# Descrição do Problema IA

- O campo magnético Terrestre é dado por:

$$\vec{B} = B_0 \left( \frac{Re}{r} \right)^3 \left( 3 \left\langle \frac{\vec{d}}{d}, \frac{\vec{r}}{r} \right\rangle \frac{\vec{r}}{r} - \frac{\vec{d}}{d} \right)$$

Em coordenadas cartesianas,

- $$\vec{B} = B_0 \left( \frac{Re}{\sqrt{x^2 + y^2 + z^2}} \right)^3 \left( 3z \frac{(x, y, z)}{r^2} - (0, 0, 1) \right)$$

Uma partícula num campo magnético sofre a seguinte força:

- $$\vec{F} = q\vec{v} \times \vec{B} \quad (\text{Força de Lorentz})$$

# Descrição do Problema IB

Aplicando a 2ª Lei de Newton ao sistema,

$$\begin{cases} \ddot{x} = \frac{qB_0R_e^3(3xz\dot{z} - 3\dot{x}z^2 - \dot{x}(x^2 + y^2 + z^2)^2)}{m(x^2 + y^2 + z^2)^{\frac{5}{2}}\sqrt{1 - \frac{\dot{x}^2 + \dot{y}^2 + \dot{z}^2}{c^2}}} \\ \ddot{y} = \frac{qB_0R_e^3(3z^2\dot{y} - 3yz\dot{z} - \dot{y}(x^2 + y^2 + z^2)^2)}{m(x^2 + y^2 + z^2)^{\frac{5}{2}}\sqrt{1 - \frac{\dot{x}^2 + \dot{y}^2 + \dot{z}^2}{c^2}}} \\ \ddot{z} = \frac{qB_0R_e^3(3\dot{x}yz - 3x\dot{y}z)}{m(x^2 + y^2 + z^2)^{\frac{5}{2}}\sqrt{1 - \frac{\dot{x}^2 + \dot{y}^2 + \dot{z}^2}{c^2}}} \end{cases}$$

# Condições iniciais da(s) Partícula(s)

Obteve-se a velocidade da partícula recorrendo a:

$$\bullet \quad \vec{p} = \gamma m \vec{v} \Leftrightarrow \gamma \vec{v} = \frac{\vec{p}}{m} \Leftrightarrow \vec{v} \sqrt{1 - \beta^2} = \frac{\vec{p}}{m}, \quad \beta = \frac{v}{c}$$

Esta foi convertida para coordenadas cartesianas, recorrendo a:

$$\begin{cases} v_x = \sin \theta \cos \varphi \dot{r} + \cos \theta \cos \varphi \dot{\theta} - \sin \varphi \dot{\phi} \\ v_y = \sin \theta \sin \varphi \dot{r} + \cos \theta \sin \varphi \dot{\theta} + \cos \varphi \dot{\phi} \\ v_z = \cos \theta \dot{r} - \sin \theta \dot{\theta} \end{cases}$$

Obtendo-se:

- $v_x = -0.07c \text{ m/s}$ ,  $v_y = 0 \text{ m/s}$ ,  $v_z = -0.07c \text{ m/s}$   
(Partícula 1)
- $v_x = 0 \text{ m/s}$ ,  $v_y = 0 \text{ m/s}$ ,  $v_z = -0.998c \text{ m/s}$   
(Partícula 2)

# Declaração da Classe

## Variáveis privadas

`vector<TPolyLine3D*> vp;` Guarda as trajetórias das partículas

`TF1 *f;`  $dv_x/dt = f(x,y,z,v_x,v_y,v_z)$

`TF1* g;`  $dv_y/dt = g(x,y,z,v_x,v_y,v_z)$

`TF1* h;`  $dv_z/dt = h(x,y,z,v_x,v_y,v_z)$

**`MagField (double Q=q, double M=mp, double B=b, double R=r)`**

Construtor da classe. Inicializa f, g e h. Por *default* coloca-as de acordo com a situação pedida.

# Declaração da Classe (cont)

**static double\* MagForce (*double x, double y, double z*)** >

Calcula a força exercida pelo campo magnético  $B$  num ponto  $(x,y,z)$ . Por ser estática pode ser usada sem instanciar um objeto da classe

**void MagLines (*double x, double y, double z, double h, int n*)**

Recebe um ponto inicial  $(x,y,z)$ , do qual descreve as linhas de campo com um passo de  $h$ , calculando  $n$  pontos.

**void Draw (*string s="opt"*)**

Desenha as trajetórias/linhas de campo contidas no objeto. Possui diversas funcionalidades, selecionadas através da variável  $s$ .

# Descrição da Classe (cont)

***void PartTraj1 (double x, double y, double z, double vx, double vy, double vz, double h, int n, char cc='m')***

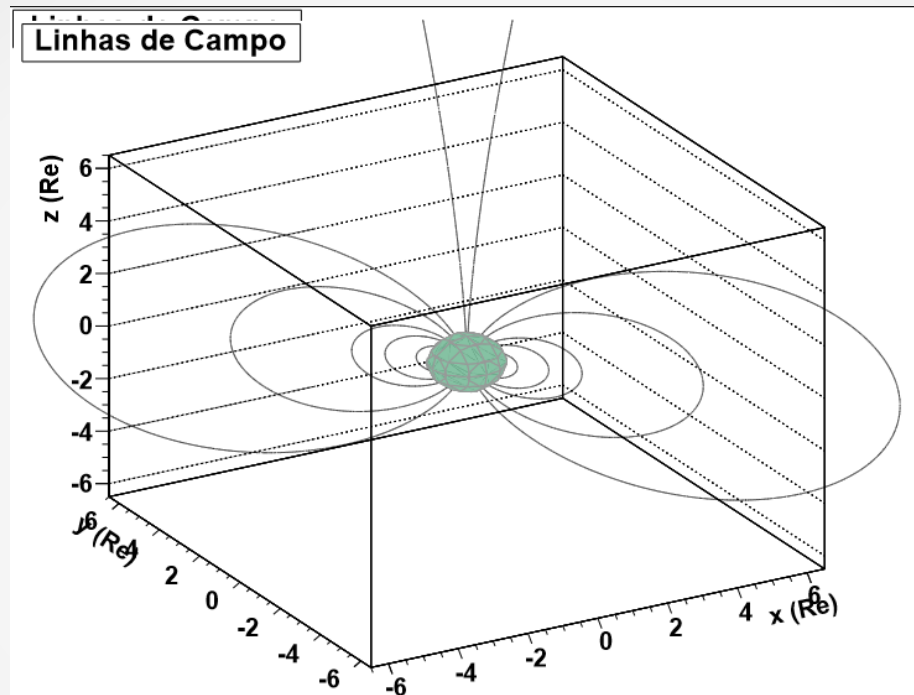
Resolve o movimento de uma partícula de posição e velocidade inicial  $(x,y,z)$  e  $(vx, vy, vz)$ , respetivamente. Recorre ao método RK2, com passo  $h$ , calculando  $n$  pontos. Se  $cc='r'$  verifica a condição  $r < 25 \cdot Re$

***void PartTraj2 (double x, double y, double z, double vx, double vy, double vz, double h, int n, char cc='m')***

Resolve o movimento de uma partícula de posição e velocidade inicial  $(x,y,z)$  e  $(vx, vy, vz)$ , respetivamente. Recorre ao método RK4, com passo  $h$ , calculando  $n$  pontos. Se  $cc='r'$  verifica a condição  $r < 25 \cdot Re$



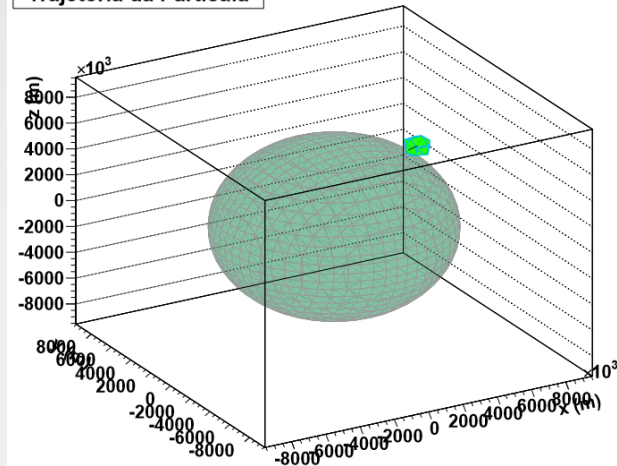
# Linhas de Campo Magnético



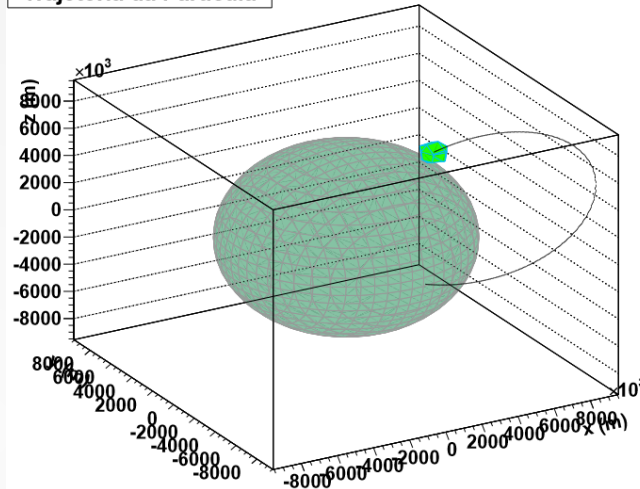
```
for(int i=0;i<n;++i){  
    u=MagForce(x[i],y[i],z[i]);  
    x[i+1]=x[i]+h*u[0]/sqrt(u[0]*u[0]+u[1]*u[1]+u[2]*u[2]);  
    y[i+1]=y[i]+h*u[1]/sqrt(u[0]*u[0]+u[1]*u[1]+u[2]*u[2]);  
    z[i+1]=z[i]+h*u[2]/sqrt(u[0]*u[0]+u[1]*u[1]+u[2]*u[2]);  
}
```

# Trajетórias das Partículas

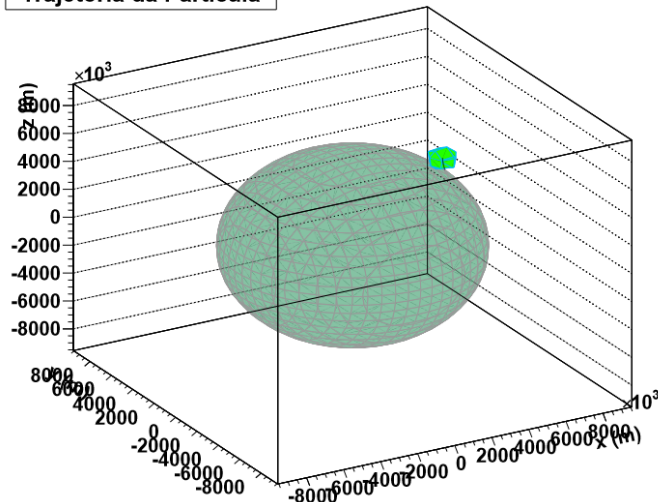
Trajетoria da Partícula



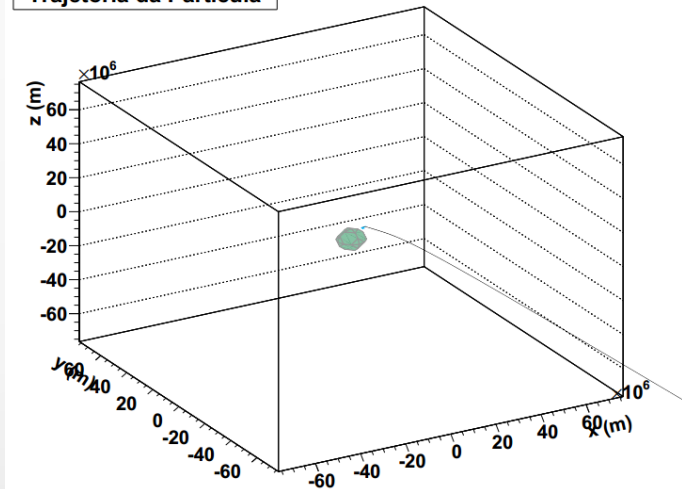
Trajетoria da Partícula



Trajетoria da Partícula



Trajетoria da Partícula



# The End

